

УДК 546.289.131+654.49

**Н. В. Шматкова¹, Г. В. Яловский¹, И. И. Сейфуллина¹,
С. Э. Самбурукский²**

¹ Одесский национальный университет имени И. И. Мечникова,
химический факультет, кафедра общей химии и полимеров
ул. Дворянская, 2, Одесса 65083, Украина
тел. (0482)32-61-70; e-mail: lborn@ukr.net

² Одесская служба по экспертному обеспечению таможенных органов,
ул. Гайдара, 21а, г. Одесса

СИНТЕЗ, ТЕРМИЧЕСКАЯ УСТОЙЧИВОСТЬ И СТРОЕНИЕ КОМПЛЕКСОВ ОЛОВА(IV) С БЕНЗОИЛ- (САЛИЦИЛОИЛ)ГИДРАЗОНАМИ АРОМАТИЧЕСКИХ АЛЬДЕГИДОВ

Взаимодействием SnCl_4 с бензоил-(салицилоил)гидразонами 2-гидрокси-1-нафтаальдегидов (H_2L) в ацетонитриле получены комплексы состава $[\text{SnCl}_3\text{L}]_n\text{CH}_3\text{CN}$ ($n = 0—2$). Методами электронной, ИК- и спектроскопии ПМР доказано, что молекулы лигандов координированы атомом олова тридентатно через атом азота азометиновой группы и атомы кислорода карбонильной и окси-групп. Изучена термическая устойчивость полученных соединений. Предложены схемы строения.

Ключевые слова: кислота Льюиса (SnCl_4), олово(IV), гидразоны, координационные соединения.

В ходе систематического изучения комплексообразования тетрахлоридов германия(IV) и олова(IV) с полидентатными гидразонами ароматических альдегидов в различных неводных средах было обнаружено, что в зависимости от растворителя и строения лиганда в одних случаях образуются комплексы одинакового состава и строения, а в других — различного [1, 2]. Настоящая работа является логическим продолжением этого исследования и посвящена синтезу продуктов взаимодействия SnCl_4 с бензоил-(салицилоил)гидразонами ароматических альдегидов в ацетонитриле. В её задачу входило разработать методики синтеза, получить соответствующие комплексы, определить их состав, строение, свойства, в том числе термическую устойчивость и провести сравнение с аналогичной информацией, ранее полученной для комплексов германия(IV) с указанными гидразонами [3].

В работе использованы SnCl_4 «осч» ($\rho = 4,02$ г/мл), гидразиды бензойной, 2-гидроксибензойной кислот «ч», 2-гидроксибенз-, 2-гидрокси-1-нафтаальдегид «ч». Органические растворители очищали и абсолютизовали по методикам [4].

Бензоил- и салицилоилгидразоны 2-гидроксибензальдегида (H_2Bs , 2-ОН- H_2Bs) и 2-гидрокси-1-нафтаальдегида (H_2Bnf , 2-ОН- H_2Bnf) синтезировали реакцией конденсации гидразидов и соответствующих альдегидов в метаноле по общей методике [5]. Полученные продукты перекристаллизовывали из метанола, выход 76—83 %. Идентификацию проводили методами масс-спектрометрии и ИК-спектроскопии (табл. 1): для H_2Bs — 240

$[C_{14}H_{12}N_2O_2]^+$, 2-OH-H₂Bs — 256 $[C_{14}H_{12}N_2O_3]^+$, H₂Bnf — 290 $[C_{18}H_{14}N_2O_2]^+$, 2-OH-H₂Bnf — 306 $[C_{18}H_{14}N_2O_3]^+$.

Таблица 1

Данные ИК спектров гидразонов и комплексов олова(IV)

Соединение	v(OH)	v(NH)	v(CH)	v(C=O)	v(C=N)	$\delta(CH + NH)$	v(Sn-N)	v(Sn-O)
H ₂ Bs	3390с	3268	3058	1672 оч.с	1622ср	1607сл, 1580, 1537, 1488		
(I)		3210	3039	1618 оч.с		1603 оч.с, 1550, 1526, 1490	418	452
2-OH-H ₂ Bs	3400— 3360ш	3180	3049	1636 оч.с	1617 оч.с	1559 оч.с, 1542, 1489		
(II)	3340с	3172	3070	1620 оч.с		1597 оч.с, 1550, 1528, 1437	436	449
H ₂ Bnf	3380с	3174	3027	1644 оч.с	1625ср	1605ср, 1576, 1469, 1413		
(III)		3240	3063	1618ср		1600 оч.с, 1546, 1531, 1411	420	456
2-OH-H ₂ Bnf	3400— 3360ш	3208	3054	1641 оч.с	1622ср	1605 оч.с, 1576, 1553, 1457		
(IV)	3345с	3175	3017	1620 оч.с		1600 оч.с, 1547, 1523, 1489	431	449

Синтез комплексных соединений $[SnCl_3(HBs)]$ (I), $[SnCl_3(2-OH-HBs)]$ (II), $[SnCl_3(HBnf)] \cdot CH_3CN$ (III), $[SnCl_3(2-OH-HBnf)] \cdot 2CH_3CN$ (IV) осуществляли следующим образом: к насыщенным при $t_{кип.}$ ацетонитрильным растворам 0,002 моль лиганда (H₂Bs, H₂Bnf в 10 мл, 2-OH-H₂Bnf в 70 мл) и взвеси 2-OH-H₂Bs (0,002 моль в 50 мл ацетонитрила) прибавляли при непрерывном перемешивании 0,002 моль (0,24 мл) SnCl₄. Растворы I, III выдерживали при $t = 50^\circ C$ до начала кристаллизации, а для выделения комплексов II, IV из соответствующих растворов отгоняли растворитель до объёмов 10 (II) и 40 мл (IV). Затем все реакционные смеси оставляли для изотермического испарения при комнатной температуре для полноты осаждения. Полученные осадки отделяли на фильтре Шотта, промывали эфиром и сушили при $t = 80^\circ C$ до постоянной массы.

Полученные соединения анализировали на хлор — меркурометрически [6], азот — по Дюма [6] и олово — методом атомно-эмиссионной спектроскопии с индуктивно связанный плазмой (ICP) на приборе «Optima — 2100 DV» фирмы «Perkin — Elmer».

ИК-спектры поглощения (4000—400 cm^{-1}) лигандов и комплексов, табличированных с KBr, записывали на спектрофотометре Specord 75 IR.

Спектры ПМР растворов ряда гидразонов и комплексов I—IV в ДМФА регистрировали на спектрометре VXR-300 фирмы «Varian» на ядрах ¹H (300 МГц). Химические сдвиги сигналов пересчитаны в шкалу ТМС.

Термогравиметрические исследования проводили на Q-дерииватографе системы Паулик-Паулик-Эрдей. Образцы нагревали на воздухе от 20 до 1000 °С со скоростью 10 град/мин. Навеска вещества 100 мг, держатель образца — платиновый тигель без крышки, эталон — прокаленный оксид алюминия.

Удельное сопротивление 10^{-3} М растворов соединений I—IV измеряли в ДМФА и нитробензоле с помощью цифрового измерителя С.Л.Р.Е. 7—8, тип электролита определяли в соответствии с таблицами [7]. Электронные спектры растворов гидразонов и I—IV в ДМФА снимали на спектрофотометре Specord UV—VIS.

Результаты элементного анализа и молярной электропроводности (λ) комплексов приведены в табл. 2.

Таблица 2

Данные элементного анализа и некоторые физико-химические характеристики комплексов I—IV

№	Брутто-формула	<i>Найдено</i> <i>вычислено</i>			$\lambda(C_6H_5NO_2/$ ДМФА), $Ом^{-1}\cdot см^2\cdot моль^{-1}$	Выход, %
		N	Cl	Sn		
I	$C_{14}H_{11}N_2O_2SnCl_3$	$\frac{6,01}{6,03}$	$\frac{22,18}{22,91}$	$\frac{25,23}{25,56}$	$6,2 / 112,0$	60,1
II	$C_{14}H_{11}N_2O_3SnCl_3$	$\frac{5,84}{5,83}$	$\frac{21,50}{22,14}$	$\frac{23,81}{24,71}$	$7,7 / 115,0$	50,1
III	$C_{20}H_{16}N_3O_2SnCl_3$	$\frac{7,55}{7,57}$	$\frac{18,11}{19,15}$	$\frac{18,92}{21,37}$	$5,8 / 110,1$	68,7
IV	$C_{22}H_{19}N_4O_3SnCl_3$	$\frac{9,12}{9,15}$	$\frac{18,21}{17,37}$	$\frac{18,84}{19,38}$	$5,3 / 108,5$	42,7

ОБСУЖДЕНИЕ РЕЗУЛЬТАТОВ

Исследование взаимодействия тетрахлорида олова с гидразонами в ацетонитриле показало, что, независимо от гидразидного (бензоил-, 2-гидроксибензоил-) и альдегидного (2-гидроксибенз-, 2-гидрокси-1-нафт-) фрагментов их молекул, образуются комплексы одинакового состава с мольным соотношением Sn : лиганд : Cl = 1 : 1 : 3 — $[SnCl_3(HBs)]$ (I), $[SnCl_3(2-OH-HBs)]$ (II), $[SnCl_3(HBnf)] \cdot CH_3CN$ (III), $[SnCl_3(2-OH-HBnf)] \cdot 2CH_3CN$ (IV). Они представляют собой кристаллические вещества, хорошо растворимые в ДМФА, ДМСО, ацетоне, среднерасторимые в ацетонитриле и нитробензоле.

По результатам измерения электропроводности I—IV в разных по донорной способности растворителях, все комплексы являются неэлектролитами в нитробензоле ($DN_{SbCl_5} = 4,4$) и двухионными электролитами в ДМФА ($DN_{SbCl_5} = 26,6$), при этом значения λ растворов не меняются со временем (табл. 2).

Это, по-видимому, свидетельствует о вытеснении молекулой ДМФА одного хлоридного иона из внутренней координационной сферы комплексов.

Обнаружено, что в электронных спектрах **I—IV** наблюдается однотипный батохромный сдвиг всех полос поглощения, в том числе обусловленных переносом заряда внутрилигандных переходов $\pi \rightarrow \pi^*$ азометиновой связи в области 300—350 нм [8]. Это указывает на одинаковое перераспределение электронной плотности в молекулах лигандов, вызванное их координацией с Sn(IV) (табл. 3).

Таблица 3

Полосы поглощения в электронных спектрах гидразонов и **I—IV**

Соединение	λ_{\max} , ($\epsilon \cdot 10^3$)			
H ₂ Bs	290 (18,4)	300 (19,0)	330 (15,6)	
[SnCl ₃ (HBs)](I)	320 (17,4)	333 (17,0)	387 (15,0)	
2-OH-H ₂ Bs	295 (17,0)	302 (16,4)	336 (22,0)	
[SnCl ₃ (2-OH-HBs)](II)	315 (14,2)	338 (14,0)	400 (15,0)	
H ₂ Bnf	314 (14,0)	327 (19,6)	363 (18,0)	380 (16,8)
[SnCl ₃ (HBnf)]·CH ₃ CN(III)	332 (13,0)	347 (14,4)	425 (16,0)	448 (16,0)
2-OH-H ₂ Bnf	315 (14,4)	328 (19,6)	368 (19,6)	384 (18,0)
[SnCl ₃ (2-OH-HBnf)]· 2CH ₃ CN(IV)	331 (12,6)	348 (13,0)	423 (17,6)	447 (16,0)

Анализ термогравиограмм комплексов показал, что характер их термолиза, в целом, однотипный (табл. 4). Для сольватированных комплексов **III**, **IV** общему процессу термораспада предшествуют эндоэффекты удаления молекул ацетонитрила, что было доказано расчетами по ТГ и изотермическим закаливанием (табл. 4). Начало термораспада сопровождается эндо-эффектом с убылью массы на ТГ в интервале температур 224—350 °C. Результаты изотермического закаливания комплексов **I—IV** при соответствующих температурах (табл. 4) с последующим анализом твердых остатков показали, что при этом происходит деструкция комплексов с удалением трёх ионов хлора (табл. 4). За ней следуют два высокотемпературных эффекта ($\downarrow\uparrow$), обусловленных дальнейшим термическим разложением и горением продуктов распада.

Способ координации и форма координированных лигандов были определены совокупным анализом данных спектроскопии ПМР и ИК. При этом, основное внимание было удалено частотам колебаний и сигналам протонов функциональных групп, потенциально способных связываться с комплексообразователем.

Так, отсутствие в ПМР-спектрах **I—IV** сигнала протона альдегидной OH-группы позволяет заключить, что происходит её депротонирование за счёт связывания с Sn(IV), что согласуется с составом синтезированных комплексов. В указанных спектрах, по сравнению с лигандами, практически не претерпевают изменений сигналы протона NH-группы, а азометиновой группы — смещаются в слабое поле. Это свидетельствует о сохранении в комплексе

кетонной формы лиганда и координации азота СН=N- группы с оловом(IV). Следует отметить, что сигналы гидроксогруппы гидразидного фрагмента, наблюдающиеся в спектрах 2-гидроксибензоилгидразонов, в спектрах II, IV сохраняются, что указывает на отсутствие их связывания с оловом.

Таблица 4

Результаты исследования термической устойчивости комплексов (I—IV)

Соединение	Температурный интервал $\Delta T (t_{\max}, ^\circ\text{C}) \uparrow \downarrow$	Δm (TG), %	T, °C закал- ки	Δm , % закал- ки	$\Delta m_{\text{теор}}$, %
$[\text{SnCl}_3(\text{HBs})]$ (I)	248—348(320)↓	40,0	325	41,6	$\Delta m(3\text{Cl}^-) = 22,91$
	406—460(440)↓	34,0			
	460—620(570)↑	14,6			
$[\text{SnCl}_3(2\text{-OH-HBs})]$ (II)	252—308(290)↓	12,0	360	37,0	$\Delta m(3\text{Cl}^-) = 22,14$
	310—370(350)↓	23,0			
	390—680(590)↑	47,0			
$[\text{SnCl}_3(\text{HBnf})]\cdot\text{CH}_3\text{CN}$ (III)	136—230(180)↓	7,5	220	7,4	$\Delta m(-1\text{CH}_3\text{CN}) = 7,19$ $\Delta m(3\text{Cl}^-) = 19,15$
	250—315(310)↓	24,0			
	400—470(450)↓	36,0			
	470—620(580)↑	14,0			
$[\text{SnCl}_3(2\text{-OH-HBnf})]\cdot2\text{CH}_3\text{CN}$ (IV)	60—160 (150)↓	12,0	160	12,4	$\Delta m(-2\text{CH}_3\text{CN}) = 13,4$ $\Delta m(3\text{Cl}^-) = 17,37$
	224—302(280)↓	24,8			
	340—382(360)↓	14,0			
	517—650(640)↑	34,0			

Таблица 5

Данные ПМР-спектров гидразонов и комплексов I—IV

Соединение	Химические сдвиги сигналов ^1H функциональных групп (σ , м.д.)			
	Ar-OH альдегид	-NH-	-CH=N-	Ar-OH гидразид
H_2Bs	11,582	10,433	8,451	
$[\text{SnCl}_3(\text{HBs})]$ (I)	—	10,411	8,555	
H_2Bnf	12,781	12,210	9,496	
$[\text{SnCl}_3(\text{Bnf})]\cdot\text{CH}_3\text{CN}$ (III)	—	12,242	9,514	
$2\text{-OH-H}_2\text{Bs}$	12,034	11,191	8,686	11,722
$[\text{SnCl}_3(2\text{-OH-HBs})]$ (II)	—	11,211	9,866	12,050
$2\text{-OH-H}_2\text{Bnf}$	12,729	12,103	9,546	11,732
$[\text{SnCl}_3(2\text{-OH-HBnf})]\cdot2\text{CH}_3\text{CN}$ (IV)	—	12,573	9,807	12,125

Сравнение ИК-спектров I—IV и гидразонов показало, что в них, как и в ПМР-спектрах, происходят однотипные изменения в области колебаний функциональных групп. В качестве примера на рис. 1 приведены ИК-спектры H_2Bnf и $[\text{SnCl}_3(\text{HBnf})]\cdot\text{CH}_3\text{CN}$ (III).

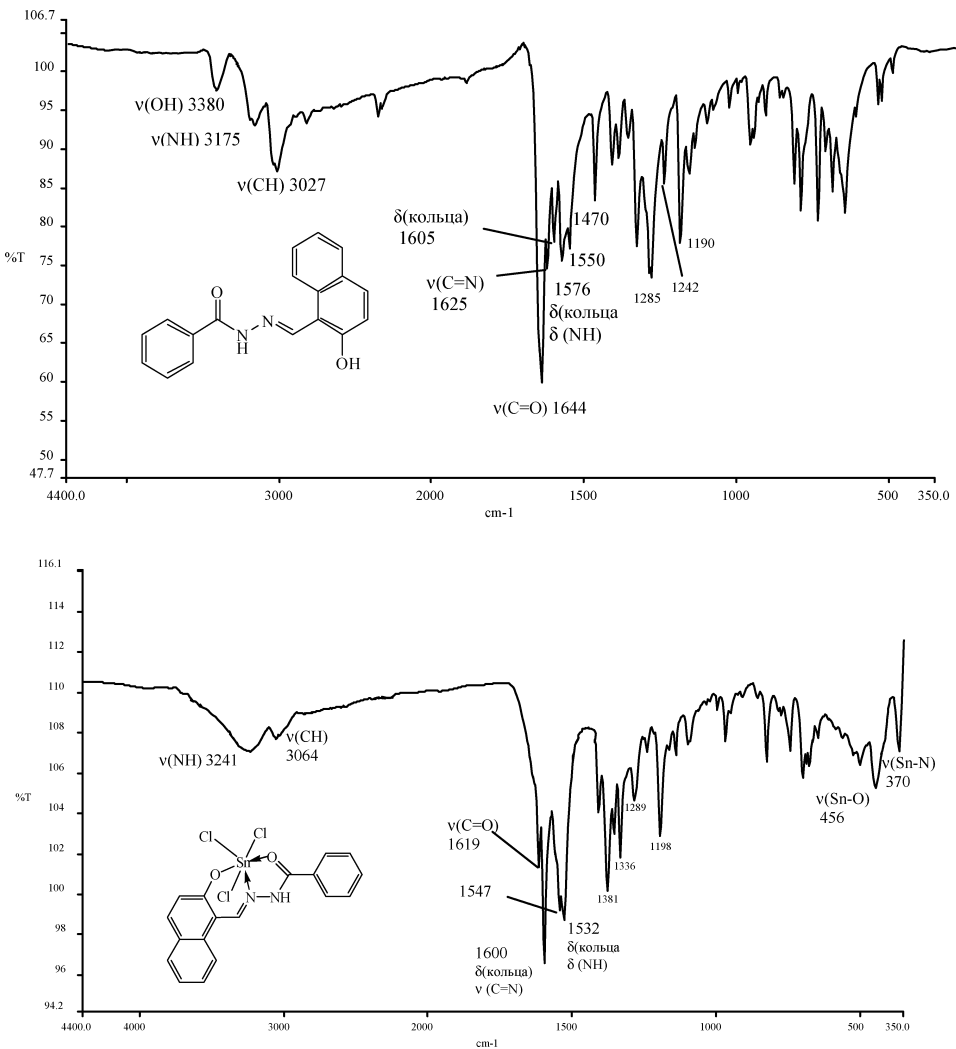


Рис. 1. ИК-спектры H_2Bnf и $[\text{SnCl}_3(\text{HBnf})]\cdot\text{CH}_3\text{CN}$ (III)

Так, в ИК-спектрах комплексов отсутствуют частоты $\nu(\text{OH})$ и смещаются в низкочастотную область $\nu(\text{NH})$, $\nu(\text{C=O})$ по сравнению с аналогичными полосами поглощения в спектрах гидразонов (табл. 1). Одновременно в обсуждаемых ИК-спектрах комплексов появляются полосы средней интенсивности в области 450–460 cm^{-1} отнесенные к $\nu(\text{Sn—O})$. Следует отметить, что в спектрах комплексов II, IV происходят однотипные со спектрами I, III изменения. Правда, идентификации полос поглощения $\nu(\text{OH})$ мешает

наличие OH-заместителей в гидразидном фрагменте молекул соответствующих гидразонов: в ИК-спектрах этих комплексов наблюдается сужение полосы $\nu(\text{OH})$ по сравнению с её шириной в ИК-спектрах гидразонов. Однако, одинаковый состав I—IV позволяет сделать вывод об отсутствии связи олова с гидразидной OH-группой, частоты колебаний которой сохраняются в соответствующих ИК-спектрах комплексов.

ИК-спектры I—IV в области $\nu(\text{C}=\text{N})$ оказались неинформативными, так как при координации полоса поглощения этой связи смещается в низкочастотную область на 15—20 cm^{-1} и накладывается на $\delta(\text{CH})$ кольца в области 1600—1605 cm^{-1} . Однако, энергетическая выгодность образования сопряженных циклов и наличие в ИК-спектрах комплексов новых полос валентных колебаний связи $\text{Sn}\leftarrow\text{N}$ в области 417—436 cm^{-1} указывают на связывание азометинового атома азота с атомом олова.

Такие изменения в ПМР и ИК-спектрах свидетельствуют о реализации в комплексах I—IV тридентатноциклической координации монодепротонированной формы лиганда через азометиновый атом азота и кислороды карбонильной и оксигрупп, что показано на рис. 1.

Таким образом, в результате взаимодействия SnCl_4 с рядом арилгидразонов (H_2L) в ацетонитриле независимо от гидразидного (бензоил-, 2-гидроксибензоил-) и альдегидного (2-гидроксибенз-, 2-гидрокси-1-нафт-) фрагментов их молекул, образуются комплексы одинакового состава $[\text{SnCl}_3(\text{HL})]\cdot n\text{CH}_3\text{CN}$ ($n = 0—2$). Проведено сравнение координационных соединений олова и германия с указанными гидразонами и показано, что в зависимости от центрального атома их состав меняется: соотношение $\text{Sn} : \text{L} = 1 : 1$ и $\text{Ge} : \text{L} = 1 : 2$. В комплексах олова реализуется кетонная форма лиганда, а в германиевых — енольная. Общим для них является тридентатная O, N, O-координация лиганда без участия гидроксогруппы гидразидного фрагмента и октаэдрический полиэдр комплексообразователя.

СПИСОК ЛИТЕРАТУРЫ

1. Сейфуллина И. И., Шматкова Н. В., Марцинко Е. Э. Особенности комплексообразования тетрахлорида германия с азот- и кислородсодержащими амполидентантными лигандами // Коорд. химия. — 2004. — Т. 30, № 3. — С. 228—234.
2. Сейфуллина И. И., Шматкова Н. В. Бензоил-(пиридиноил)гидразоны ароматических альдегидов в реакциях комплексообразования с тетрахлоридами германия и олова // Тез. XXIII Междунар. Чугаев. Конф. по корд. химии. — Одесса, 2007 — С. 47—49.
3. Shmatkova N. V., Seifullina I. I. Germanium (IV) complexes with substituted o-oxybenzaldehyde benzoylhydrazones // Poster Abstract 35—th International Conf. on Coord. Chem. ICCC 35. — Heidelberg, 2002. — Р. 646.
4. Вайсбергер А., Проскауэр Э., Риддик Дж., Тупс Э. Органические растворители. Физические свойства и строение: Пер. с англ. — М.: ИЛ, 1958. — 519 с.
5. Вейганд-Хильгетат. Методы эксперимента в органической химии. — М.: Химия, 1968. — 944 с.
6. Ключников Н. Г. Руководство по неорганическому синтезу. — М.: Химия, 1965. — 104 с.
7. Geary W. J. The use of conductivity measurements in organic solvents for the characterisation of coordination compounds // Coord. Chem. Rev. — 1971. — № 7. — Р. 81—122.
8. Орисик С. І., Чундак С. Ю., Волков С. В., Пехньо В. І., Харькова Л. Б. Координаційні сполуки родію (ІІІ) з саліциліденгідразонами карбонових кислот // Укр. хим. журнал. — 2001. — Т. 67, № 1. — С. 3—7.

**Н. В. Шматкова¹, Г. В. Яловський¹, І. Й. Сейфулліна¹,
С. Е. Самбурукський²**

¹Одеський національний університет імені І. І. Мечникова,
хімічний факультет, кафедра загальної хімії та полімерів
вул. Дворянська, 2, 65082, Одеса

²Одеська служба по експертному забезпеченню митних органів,
вул. Гайдара, 21а, Одеса

**СИНТЕЗ, ТЕРМІЧНА СТІЙКІСТЬ І БУДОВА КОМПЛЕКСІВ
ОЛОВА(ІV) З БЕНЗОЇЛ-(САЛІЦИЛОЇЛ)ГІДРАЗОНАМИ
АРОМАТИЧНИХ АЛЬДЕГІДІВ**

Резюме

Взаємодією SnCl_4 з бензоїл-(саліцилоїл)гідразонами 2-гідрокси(бенз)-1-нафтальдегідів (L) в ацетонітрилі отримано комплекси складу $[\text{SnCl}_3L] \cdot n\text{CH}_3\text{CN}$ ($n = 0—2$). Методами електронної, ІЧ- та спектроскопії ПМР доведено, що молекули лігандів є координованими атомом олова тридентатно через атом Нітрогену азометинової групи і атоми Оксигену карбонільної та окси- груп. Вивчено термічну стійкість отриманих сполук.

Ключові слова: кислота Льюїса (SnCl_4), станум (IV), гідразони, координаційні сполуки.

N. V. Shmatkova¹, G. V. Yalovskiy¹, I. I. Seifullina¹, S. E. Samburskii²

¹Odessa National University, department of general chemistry and polymers,
Dvoryanskaya St., 2, Odessa, 65082

² Central Customs Directorate of laboratory research and expert works
Gaydara St., 21a, Odessa

**SYNTHESIS, THERMAL STABILITY AND STRUCTURE OF
TIN(IV) COMPLEXES WITH AROMATIC ALDEHYDES BENZOYL-
(SALICYLOYL)HYDRAZONES**

Summary

The complexes of composition $[\text{SnCl}_3L] \cdot n\text{CH}_3\text{CN}$ ($n=0—2$) have been obtained by SnCl_4 interaction with 2-hydroxy(benz)-1-naphthaldehydes benzoyl-(salicyloyl)hydrazones in acetonitrile. It was proved by methods of electronic, IR- and PMR spectroscopy ligands molecules to be coordinated by tin atom as tridentate ones via azomethine group nitrogen atom and carbonyl and oxy-groups oxygen atoms. The thermal stability of obtained compounds has been studied. The structure schemes are offered.

Key words: Lewis acid (SnCl_4), tin(IV), hydrazones, coordination compounds.